

© 1991

КРИСТАЛЛИЧЕСКИЕ И МАГНИТНЫЕ СВОЙСТВА МОНОКРИСТАЛЛОВ СИСТЕМЫ $MnAs_{1-x}P_x$

Г. А. Говор

Проведенные исследования структурных, магнитных и электрических свойств монокристаллов системы $MnAs_{1-x}P_x$ ($x \leq 0.2$) показали, что высокотемпературный фазовый переход 2-го рода на линии T_f является магнитным типа беспорядок—порядок, а последовательность структурно-магнитных фазовых переходов 1-го рода в температурном интервале от $T_f = 240$ К до $T_t = 350$ К определяется упорядочением статических смещений атомов и магнитных моментов. Установлено, что магнитное состояние вещества во многом определяется дефектностью кристаллов. Сильно дефектные кристаллы характеризуются изотропным ферромагнитным состоянием, а для «идеальных» характерно антиферромагнитное упорядочение с модулированным H_a и угловым C расположением магнитных моментов.

Исследование квазибинарных растворов системы $MnAs_{1-x}P_x$ ($x \leq 0.2$), построение магнитных и структурных диаграмм растворов представляет значительный интерес для понимания механизма и природы фазовых превращений в интерметаллических соединениях и сплавах. Наблюдающиеся в указанных твердых растворах магнитоструктурные фазовые переходы сопровождаются аномально большими объемными и калорическими эффектами. В [1-7] результаты исследований системы $MnAs_{1-x}P_x$ обобщены в виде магнитных и структурных фазовых диаграмм. Полученные здесь результаты во многом противоречивы и взаимоисключают друг друга. В то же время можно выделить некоторые общие наблюдаемые закономерности в поведении линий фазовых равновесий.

В высокотемпературной области выше линии T_t кристаллическая структура растворов системы $MnAs_{1-x}P_x$ характеризуется как NiAs-типа. Магнитное состояние в этой области описывается как кюри-вейссовский парамагнетик.

При температуре T_f наблюдаются аномалии в ходе температурной зависимости магнитной восприимчивости [8-14]. Для эквиатомного соединения — арсенида марганца — значение этой температуры приближается к $T_f = 400$ К. С увеличением содержания фосфора наблюдается линейный рост значения этой температуры с коэффициентом $dT_f/dx = 6$ К/ат. %.

Предполагается, что на линии T_f происходит структурный переход с понижением симметрии кристаллической решетки типа $NiAs \rightleftharpoons MnP$. Однако исследования поликристаллов [8-14] не позволяют однозначно подтвердить структурный характер фазового перехода при температуре T_f . Напротив, как это следует из температурной зависимости параметра деформации $\delta = (1 - \sqrt{3} a) \cdot 100\%$ [10], полученного из расщепления отдельных рентгеновских линий, температура перехода к структуре NiAs-типа для сплава $MnAs_{0.9}P_{0.1}$ равна 350 К в отличие от $T_f = 450$ К.

Магнитное состояние сплавов ниже T_f рассматривается как неупорядоченное парамагнитное с аномальным характером изменения магнитной восприимчивости от температуры.

В [10-15] предполагается, что магнитный переход в упорядоченное состояние происходит на линии T_c , T_h . Ниже этой линии магнитное

состояние для сплавов одного и того же состава может быть как ферромагнитным, так и антиферромагнитным с модулированным H_a или угловым C расположением магнитных моментов. По данным [8-14], для системы $MnAs_{1-x}P_x$ ($x \leq 0.2$) T_c , $T_N = 240 \pm 5$ К.

Исследование калорических свойств сплавов системы $MnAs_{1-x}P_x$ ($x \leq 0.2$) в [15-29] показало, что наряду с аномалиями теплоемкости в окрестности линий T_c , T_u и T_f наблюдается дополнительный, третий, максимум теплоемкости в окрестности температур 300—500 К. Природа указанного максимума теплоемкости во многом остается неясной. Высказанное в [10] предположение о спиновом характере перехода типа высокий спин—низкий спин (T_{hi}) пока не нашло достаточных подтверждений. Не наблюдалось в окрестности 350 К заметных аномалий в ходе изменения с температурой магнитных и структурных свойств поликристаллов системы $MnAs_{1-x}P_x$ [20-23].

Неоднозначность трактовки фазового перехода на линии T_f , природы фазового перехода при $T=350$ К и двойственного характера магнитного упорядочения ниже линии T_f , T_N составили предмет изучения в данной статье.

1. Экспериментальные результаты

Монокристаллы квазибинарных растворов $MnAs_{1-x}P_x$ ($x \leq 0.2$) были получены методом Стокбаргера—Бриджмена [24, 25]. Из массивных блоков вырезались ориентированные диски $\varnothing 3-5$ мм и высотой 1—2 мм, используемые в дальнейшем для магнитных исследований. Из того же монокристалла изготавливались образцы для рентгеновских исследований в виде цилиндров $\varnothing 0.1-0.2$ мм и высотой до 2 мм, а также ориентированные вдоль и перпендикулярно оси C образцы для электрических измерений.

На рис. 1 приведены температурные зависимости параметров «идеального» монокристалла $MnAs_{0.95}P_{0.05}$ с мозаичностью блоков не более 1—3', смещения атомов марганца с положения равновесия в структуре NiAs-типа z_{Mn} (3) и среднеквадратичных смещений атомов в базисной плоскости u_s^2 (4). Видно, что ниже температур $T_f' = 240$ К и выше $T_f = 350$ К не наблюдается изменений величин смещений атомов марганца с позиций равновесия их в структуре NiAs-типа. Переход из одного устойчивого состояния выше T_f со смещениями атомов марганца $z_{Mn} = 0.033 \pm 0.001$ в другое устойчивое ниже T_f' со смещениями $z_{Mn} = 0.051 \pm 0.001$ происходит в идеальном кристалле как последовательность фазовых переходов 1-го рода со скачкообразными изменениями при $T_f' = 240$ и $T_f = 350$ К и других температурах. Наблюдаемая последовательность фазовых переходов определяет аномальный характер изменения среднеквадратичных смещений u_s^2 в интервале температур $T_f' - T_f$. Происходит также изменение в температурном интервале от T_f' до T_f величины смещений атомов мышьяка из положения равновесия в структуре NiAs-типа от $x_{As} = 0.049 \pm 0.001$ до $x_{As} = 0.02 \pm 0.001$. В отличие от характера смещений атомов марганца в последнем случае не наблюдалось квазистабильных состояний в интервале температур от T_f' до T_f .

В области температур выше $T_f = 350$ К кристаллическую структуру монокристаллов можно рассматривать как разупорядоченную NiAs-типа. В подобной структуре смещения атомов марганца $z_{Mn} = 0.023$ полностью неупорядочены. Представление о подобной структуре можно получить из рис. 2, где приведена базисная плоскость NiAs-типа. Переход к структуре типа MnP состоит во введении кристаллографических осей Y' , Z' так, как это показано на рисунке. При температурах выше $T_f = 350$ К в исходной структуре происходит почти равновероятное смещение атомов марганца по трем кристаллографическим осям Z' , Z'' и Z''' вдоль направлений $[00\bar{1}]$, $[01\bar{1}]$ и $[0\bar{1}\bar{1}]$ — $P_1 : P_2 : P_3 = 0.4 : 0.3 : 0.3$, где

P_1 — вероятность смещения атома марганца вдоль [001], P_2 и P_3 — то же вдоль направлений [011] и [011] соответственно. Атомы мышьяка при этом смещаются односторонне вдоль [100]. Подобную структуру можно рассматривать как структуру NiAs-типа только при условии, что величины статических смещений атомов сравнимы со значением амплитуды среднеквадратичных смещений x_{As} , $z_{\text{Mn}} \leq \sqrt{\bar{u}_s^2}$. Последнее приводит к пол-

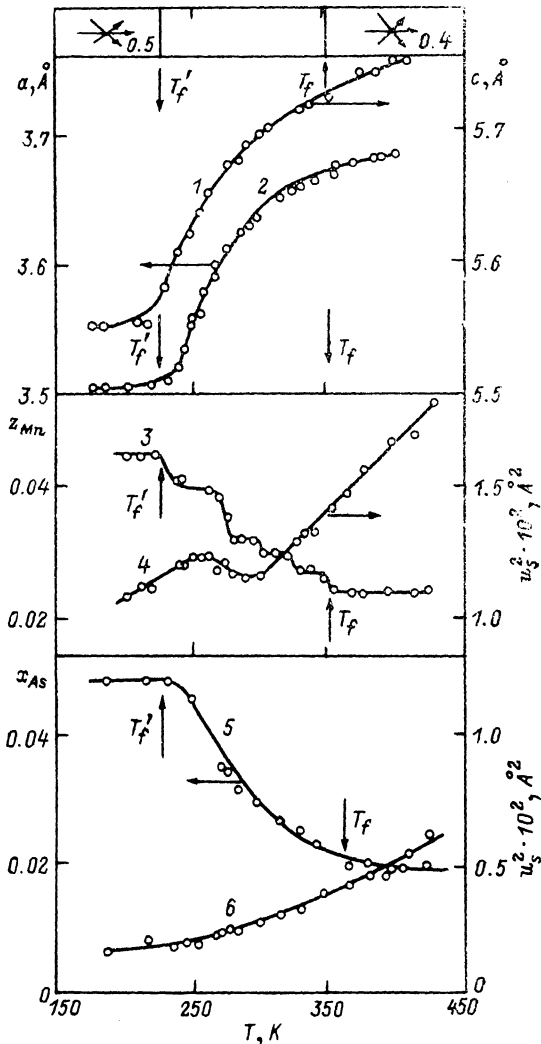


Рис. 1. Температурные зависимости для «идеального» монокристалла $\text{MnAs}_{0.95}\text{P}_{0.05}$ с мозаичностью 1—3' параметров решетки a и c (1, 2), смещения атома марганца z_{Mn} с позиций равновесия в структуре NiAs-типа (3) и среднеквадратичных смещений атомов в базисной плоскости (4), смещений атомов мышьяка x_{As} (5) и \bar{u}_s^2 вдоль [100] (6).

ной симметрии интенсивностей рефлексов (060), (039) и (039̄) (рис. 3; для монокристаллов $\text{MnAs}_{0.94}\text{P}_{0.06}$ и $\text{MnAs}_{0.89}\text{P}_{0.11}$ соответственно при $T > 400$ К).

При $T < T_f = 350$ К в переходной области между $T_f = 350$ и $T'_f = 240$ К для идеального кристалла наблюдается процесс упорядочения статических смещений вдоль [001]. Последнее приводит к уменьшению интенсивности рефлексов (039) и (039̄) при сохранении интенсивности рефлекса (060). В области температур ниже $T'_f = 240$ К в идеальных кристаллах образуется квазистабильная структура со смещениями атомов марганца вдоль направлений [001], [011] и [011̄] с соотношением вероятностей

$P_1 : P_2 : P_3 = 0.5 : 0.25 : 0.25$. Для некоторых идеальных кристаллов имеет место фазовый переход при $T \approx 150$ К с дальнейшим упорядочением смещений.

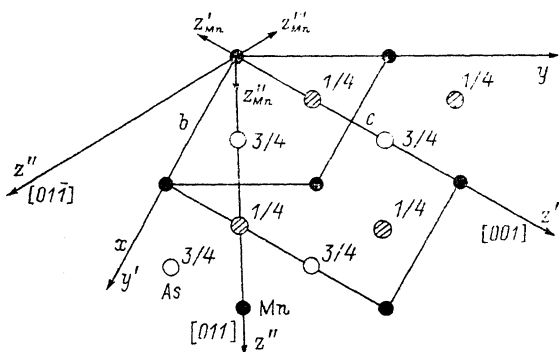


Рис. 2. Преобразование координат базиса при переходе типа NiAs—MnP .

С переходом к дефектным кристаллам с мозаичностью более $10'$ фазовый переход в интервале от T_f' до T_f с упорядочением статических смещений становится почти непрерывным.

Для сильнодефектных кристаллов в интервале температур $T_f \div T_f'$ не происходит заметного упорядочения статических смещений атомов

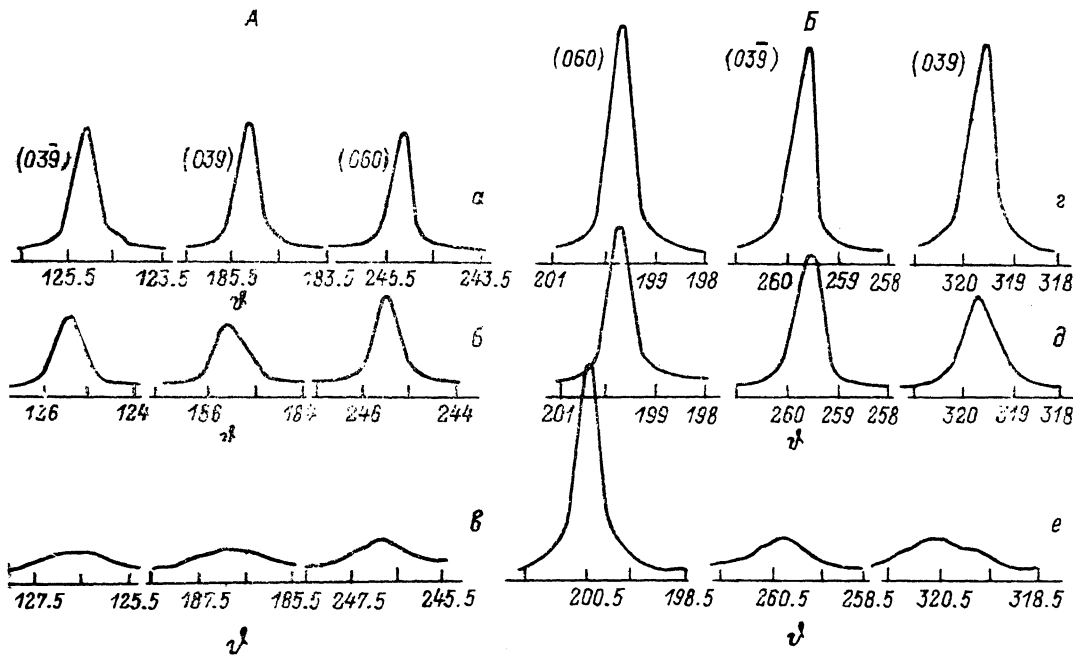


Рис. 3. Формы рефлексов (060) , (039) и $(039\bar{ })$ и их изменения с температурой дефектного кристалла $\text{MnAs}_{0.98}\text{P}_{0.11}$ (А) и «идеального» кристалла $\text{MnAs}_{0.94}\text{P}_{0.06}$ (Б).

T , К: а — 400; б — 293; в — 213; г — 417; е — 198.

марганца. Последнее приводит к образованию низкотемпературной неупорядоченной фазы, в которой, как это показано на рис. 3, рефлексы (060) , (039) и $(039\bar{ })$ заметно уширяются и заметно снижается их интенсивность. В результате исходная дефектность образца определяет ту или иную кристаллическую структуру монокристаллов системы $\text{MnAs}_{1-x}\text{P}_x$ при температурах ниже $T_f' = 250$ К.

Ниже приведены результаты исследования магнитных свойств монокристаллов системы $MnAs_{1-x}P_x$ ($x \leq 0.2$). На рис. 4 приведены температурные зависимости обратной магнитной восприимчивости раздробленного кристалла $MnAs_{0.95}P_{0.05}$ до отжига (кривая 1) и после отжига (кривая 2). На кривых видны аномальные изменения $1/\chi$, определяющие температуру T_f . Из кривой 3 (рис. 4), представляющей собой температурную зависимость остаточной магнитной индукции, видно, что вплоть до значений температуры T_f существует магнитоупорядоченная фаза, что также подтверждается нелинейной полевой зависимостью остаточной магнитной индукции (рис. 4, кривая 4) в температурной области вплоть до T_f . Это показывает, что полное магнитное разупорядочение монокристаллов системы $MnAs_{1-x}P_x$ ($x \leq 0.2$) происходит при температуре T_f .

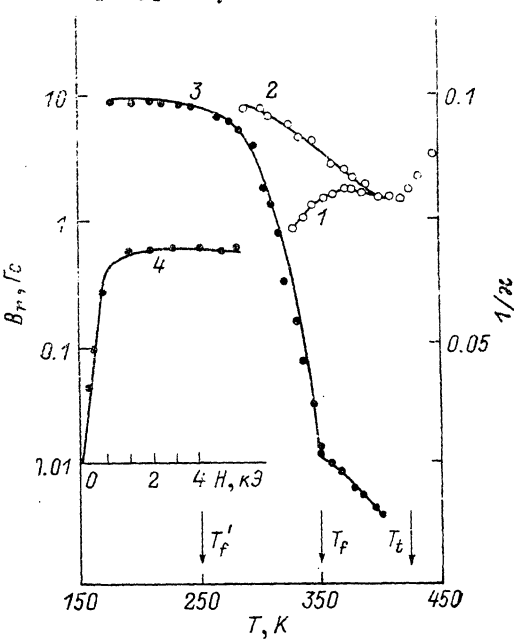


Рис. 4. Температурные зависимости обратной магнитной восприимчивости $1/\chi$ дефектного (1) и отожженного (2) раздробленного кристалла $MnAs_{0.95}P_{0.05}$, остаточной намагниченности монокристалла $MnAs_{0.95}P_{0.05}$ (3) и полевая зависимость остаточной намагниченности при $T = 350$ К (4).

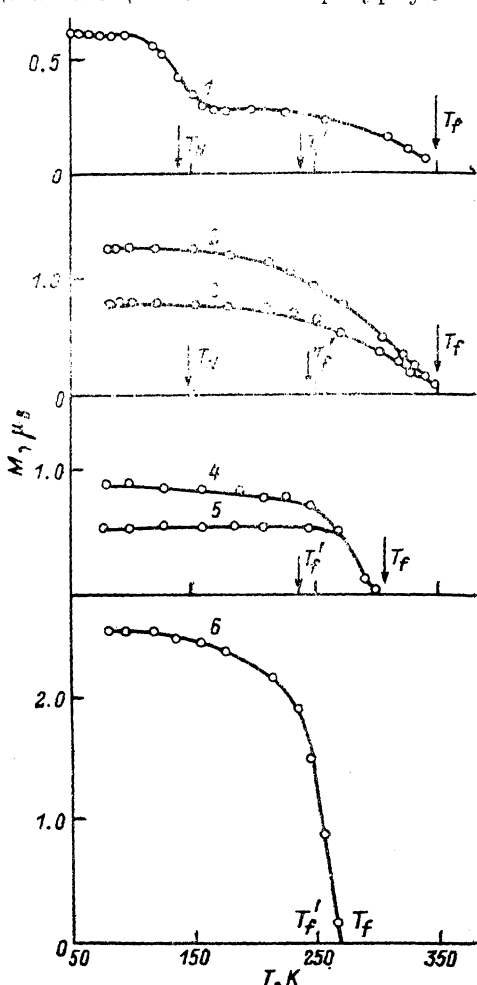


Рис. 5. Температурные зависимости намагниченности монокристаллов «идеального» $MnAs_{0.91}P_{0.09}$ (1), дефектных $MnAs_{0.95}P_{0.05}$ (2, 3), $MnAs_{0.8}P_{0.2}$ (4, 5), сильнодефектного $MnAs_{0.89}P_{0.11}$, $MnAs_{0.5}P_{0.5}$ (6).

На рис. 5 приведена температурная зависимость намагниченности «идеального» монокристалла $MnAs_{0.91}P_{0.09}$ и $MnAs_{0.8}P_{0.2}$ (кривые 2, 3 и 4, 5 для легкого и трудного направлений намагничивания) и сильнодефектного монокристалла $MnAs_{0.89}P_{0.11}$ (кривая 6). Видно, что с увеличением дефектности имеют место рост намагниченности кристаллов и уменьшение их анизотропии с переходом к квазиаморфному ферромагнетику в случае сильнодефектного кристалла (кривая 6). Все это позволяет считать магнитное состояние кристалла однозначно связанным с его кристаллической структурой — упорядочением статических смещений атомов марганца в решетке.

Приведенные выше результаты структурных и магнитных исследований позволяют представить диаграмму (рис. 6). Для всех монокристаллов выше T_f в кристаллической структуре смещения атомов марганца $z_{\text{Mn}} = -0.023 \pm 0.001$ разупорядочены вдоль направлений [001], [011] и [011] с соотношением вероятностей $P_1 : P_2 : P_3 = 0.4 : 0.3 : 0.3$. На линии T_t происходит образование магнитной частично упорядоченной модулированной структуры, для которой характерно отсутствие трансляционной симметрии вдоль [100]. При этом здесь сохраняется разупорядоченная кристаллическая структура с равновероятными смещениями атомов марганца. В результате фазовый переход на линии T_t рассматривается как магнитный: беспорядок—частичное упорядочение магнитных моментов. В области температур $T_f \div T'_f$ для идеальных кристаллов имеет место струк-

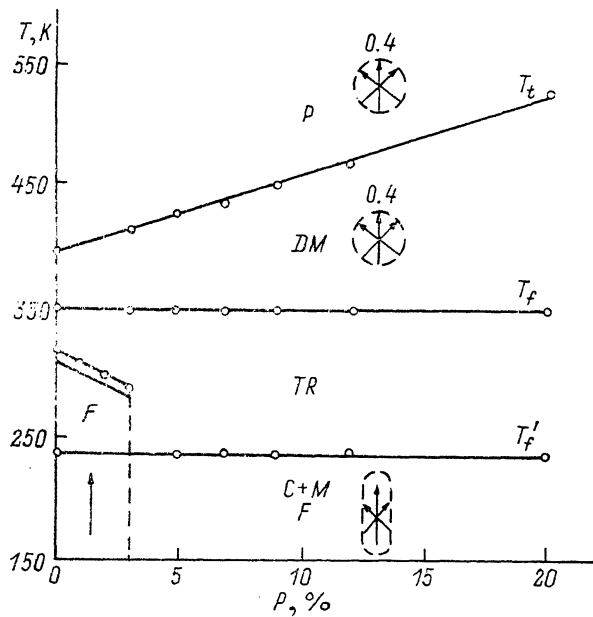


Рис. 6. Фазовая диаграмма системы монокристаллов $\text{MnAs}_{1-x}\text{P}_x$.

турный переход с упорядочением статических смещений атомов марганца и одновременным ростом их величины. Указанный фазовый переход можно рассматривать как последовательность фазовых переходов 1-го рода, первый из которых происходит при температуре $T_f = 350$ К и последний при $T'_f = 240$ К. Упорядочение статических смещений атомов марганца сопровождается ростом намагниченности в результате ориентации моментов в направлении [100] с образованием антиферромагнитной структуры с модулированным H_a и угловым расположением C магнитного момента в решетке. В случае сильно дефектных кристаллов не происходит упорядочения статических смещений ниже температуры T_t . Магнитное упорядочение для таких кристаллов изотропное ферромагнитное. В области составов $x \leq 0.03$ статические смещения атомов в решетке минимальны ($z_{\text{Mn}} = 0.01$, $x_{\text{As}} = 0.008$) при одноосной упорядоченности. Магнитное состояние в этом случае ферромагнитное [26, 27]. В случае идеальных монокристаллов $\text{MnAs}_{1-x}\text{P}_x$ ($0.03 \leq x \leq 0.2$) возможно возникновение ниже температуры T'_f ферромагнитного состояния с минимальными искажениями решетки ($x_{\text{As}} = 0.008$, $z_{\text{Mn}} = 0.01$). При последующем структурном переходе вследствие значительных объемных изменений $\Delta V/V_0 = 0.2$ кристалл разрушается.

2. Обсуждение результатов

В приближении теории фазовых переходов Ландау наблюдаемые в системе $MnAs_{1-x}P_x$ фазовые переходы, при которых происходит упорядочение статических смещений атомов, изменение их величины и упорядочение магнитных моментов атомов в решетке, можно описать в трехпараметрическом приближении. В качестве основного параметра порядка можно рассмотреть параметр η , учитывающий изменение симметрии решетки при упорядочении статических смещений. В качестве дополнительных можно принять магнитный параметр порядка m и параметр порядка u , учитывающий изменение объема решетки. В результате уравнение для свободной энергии Гиббса в разложении Ландау можно записать в виде

$$G = G_0 + A\eta^2 + B^4\eta + Cu^2 + Du^4 + E\eta^2u^2 + Fm^2 + Mm^4 + H\eta^2m^2.$$

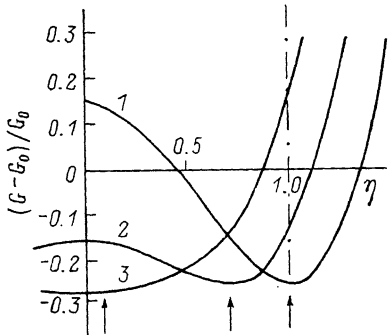


Рис. 7. Зависимость свободной энергии Гиббса от симметрийного параметра η для ферромагнитной $m^2=1$, антиферромагнитной $m^2=0.5$ (2) и разупорядоченной слоевой $m^2=0.1$ (3) структур.

В вышеприведенное уравнение введены дополнительные члены, учитывающие влияние структурной симметрии на магнитное упорядочение и объемный параметр.

После определения значений коэффициентов в уравнении свободной энергии из граничных условий можно определить зависимость свободной энергии Гиббса от симметрийного параметра η для ряда квазистойчивых состояний: ферромагнитного упорядочения $m^2=1$, антиферромагнитной структуры H_a с модулированным характером упорядочения магнитных моментов $m^2=0.5$ и разупорядоченной вдоль (100) модулированной структуры $m^2=0.1$ (рис. 7). Видно из приведенных кривых, что значения свободной энергии Гиббса в минимумах для рассмотренных полиморфных модификаций примерно одинаковы. Последнее подтверждает экспериментальный факт о возможности существования в системе $MnAs_{1-x}P_x$ ферромагнитного или антиферромагнитного состояний в зависимости от дефектности и последовательности в изменении внешних условий при получении того или иного состояния.

Список литературы

- [1] Roger A., Fruchart R. // Mater. Res. Bull. 1968. V. 3. P. 253—264.
- [2] Goodenough J. B., Ridley D. H., Newman W. A. // Proc. Inter. Conf. Magn. Nottingham. 1964. P. 542—549.
- [3] Zieba A., Haneda S., Yamaguchi Y., Watanabe H. // Phys. Stat. Sol. (a). 1979. V. 55. P. K27—K29.
- [4] Fjellvag H., Andersen A. F., Bärner K. // Jmmm. 1984. V. 46. P. 29—31.
- [5] Haneda S., Yamaguchi Y., Watanabe H., Kazama N. // J. Phys. Soc. J. 1979. V. 46. P. 802—805.
- [6] Schittly Th., Ruhrt Ch., Bärner K. // Jmmm. 1986. V. 58. P. 280—286.
- [7] Haneda S., Kazama N., Yamaguchi A., Watanabe H. // J. Phys. Soc. J. 1977. V. 42. P. 31—37.
- [8] Haneda S., Kazama N., Yamaguchi Y., Watanabe H. // J. Phys. Soc. J. 1977. V. 42. P. 1212—1219.
- [9] Suzuki T., Ido H. // J. Phys. Soc. J. 1982. V. 51. P. 3149—3156.
- [10] Ido H. // J. Phys. Soc. J. 1968. V. 25. P. 1543—1547.
- [11] Hall E. L., Schwartz L. H., Felcher G. P., Ridley D. H. // J. Appl. Phys. 1970. V. 41. P. 939—942.
- [12] Bärner K. // Jmmm. 1987. V. 71 P. 268—270.
- [13] Andersen A. F., Fjellvag H., Steinsvoll O., Kjekshus A., Stølen S., Bärner K. // Jmmm. 1986. V. 62. P. 241—246.

- [14] Kjekhus A., Stølen S. // J. Sol. State. Chem. 1986. V. 64. P. 123—133.
[15] Krokoszinski H. J., Santandrea C., Gmelin E., Bärner K. // Phys. Stat. Sol. (b). 1982. V. 113. P. 185—188.
[16] Fjellvag H., Grønvold F., Kjekhus A. and Stølen S. // J. Phys. C: Solid. State. Phys. 1987. V. 20. P. 3005—3010.
[17] Labban K., Westrum E. F. // J. Solid State Chemistry. 1987. V. 70. P. 185—198.
[18] Bärner K., Westrum E. F. // Phys. Stat. Sol. (b). 1985. V. 132. P. 431—434.
[19] Inhlemann J., Bärner K., Krokoshinski H. J., Gmelin E. // Phys. Stat. Sol. (a) 1985. V. 87. P. 279—282.
[20] Berg H., Bärner K. // JMMM. 1977. V. 4. P. 69—76.
[21] Fjellvag H., Kjekhus A., Stølen S. // J. Solid State Chemistry. 1986. V. 64. P. 123—133.
[22] Berg H., Bärner K., Schröter W. // Phil. Mag. 1975. V. 31. P. 1049—1055.
[23] Berg H. // Phys. Stat. Sol. (a). 1977. V. 40. P. 559.
[24] Говор Г. А. // ФТТ. 1981. Т. 23. № 5. С. 1444—1447.
[25] Говор Г. А. // ФТТ. 1986. Т. 28. № 1. С. 39—42.
[26] Говор Г. А. // ФТТ. 1988. Т. 30. № 12. С. 3529—3535.
[27] Govor G. A. // JMMM. 1986. V. 54—57. P. 1361—1362.
[28] Govor G. A., Bärner K., Shünemann J. M. // Phys. Stat. Sol. (a). 1989. V. 113. P. 403—420.

Институт физики твердого тела
и полупроводников АН Беларуси
Минск

Поступило в Редакцию
3 апреля 1991 г.
В окончательной редакции
19 июня 1991 г.